4 Böhm B., Brandner P. Manul for the Iao Program Package. Version 1.x. mineo. -

1988 / TU Wien, - 39 p.

5. Böhm B., Brandner P., Flelschmann A., Luptacik M., Muller P., Interaktive Optimierung der Wirtschaftspolitik. Projektberict zum Teil II des Projektes Ökonometrische Studien zur Quantifizierung wirtschaftspolitischer Mabnahmen in Österreich - 1988 / TU Wien. - 42 p.

THYA 10.10.1994

Изв. НАН и ГИУ Армении (сер. ТН), т. XLIX, № 1, 1996. с. 41- 44

УЦК 539.1.07

РАДИОЭЛЕКТРОНИКА

А.М. СИРУНЯН. С.С. СТЕПАНЯН

О-МЕТР ДЛЯ ИЗМЕРЕНИЯ ЯДЕРНОЙ ПОЛЯРИЗАЦИИ НА ОСНОВЕ ФАЗОЧУВСТВИТЕЛЬНОГО ДЕТЕКТОРА

Ֆազազգայուն դետեկտորի հիման վրա մշակվել է Q–մետրի սխեմայի նոր տարբերակ։ Սյդ սխեմայում օգտագործված երկու ազդանշանների բազմապատկման մեթողը (ազդանշանը տրվում է ֆազային դետեկտորի մուտքին հիմնային եաճախությամբ և կրկնակի փոքրացված) թույլ տվեց լավացնելով միջուկային մազնիսական օեզոնանսի ազդանշանների գրանցման արդյունավետությունը, կրկնակի լավացնել ազդանշան/ադմուկ հարաբերկցությունը։ Սարքը ապահովում է լափմաս ճշգրտությունը ±1% սահմաններում։

Описан Q-метр на основе фазочувствительного детектора для измерения адерной поляризации мишеней. Применение метода перемножения двух сигналов, подаваемых на вход фазового детектора е опорнов частотой и вдяме уменьшенных, позволило повысить эффективность регистрации сигналов ядерных магкитных резонансов и вдвое улучшить отношение сигнал/шум. Прибор обеспечивает точность измерения не хуже ±1%.

Ил. 2. Библиогр.: 6 назв.

A new version of Q-meter scheme based on a phase sensitive detector has been developed. The method of multiplication of two signals used in this scheme (the signal is fed to the phase detector input with the basic frequency and reduced twice), enabled to improve the registration efficiency of NMR-signals. The device provides a measurement accuracy within $\pm 1\%$.

111. 2. Ref. 6.

Для измерения ядерной поляризации используются различные Qметры, регистрирующие сигналы ядерного маглитного резонанса (я.м.р.) в веществе мишеней [1 - 6]. Из них наиболее предпочтительны Q-метры на иснове фазочувствительного детектора [2], которые имеют следующие цества:

- а) более узкая полоса частот на выходе детектора, что облегчает выделение низкочастотного сигнала;
- б) линейная характеристика (в случае диодного детектирования регистрация малых сигналов связана с дополнительными трудностями [3]);

в) компенсируется влияние дисперсии, что следует из анализа резонансных контуров [3]. При диодном детектировании для этой цели необходимо либо уменьшить добротность контура, либо изменить фактор заполнения, что в целом ухудшает чувствительность приемника сигналов ямр.

Предлагаемый Q-метр на основе фазочувствительного детектора нозводил улучшить отношение сигнал/шум по сравнению с традиционным диодным детектированием [1,3-5].

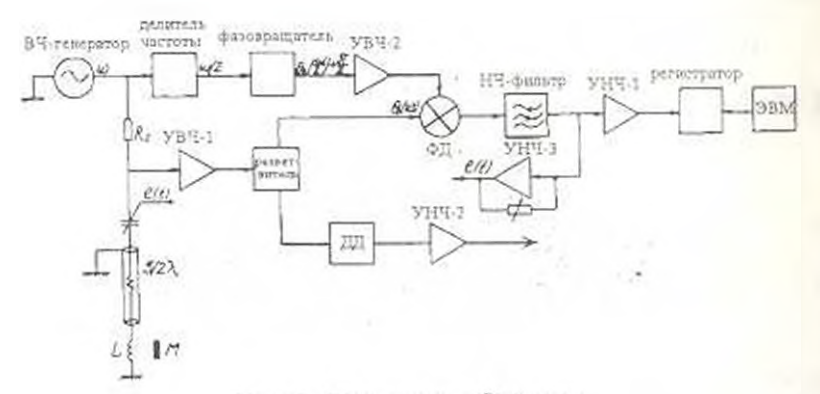


Рис. 1. Блок-схема Q-метра

На рис. 1 приведена блок-схема Q-метра. Высокочастотный (ВЧ) генератор (ВЧ) возбуждает в контуре ток, стабильный по амилитуде и линейно изменяющийся по частоте. Напряжение на контуре усиливается широконолосным усилителем УВЧ-1 [3] и поступает на фазовый детектор ФД. На второй вход ФД подается сигнал ВЧ генератора после деления частоты на два и прохождения через регулируемую фазосавигающую цепь и усилитель УВЧ-2. С помощью фильтра нижних частот, последовательно пключенного на выходе ФД, формируется среднее арифметическое значение выходного напряжения фазового детектора. После фазового детектирования и усиления по низкой частоте в УНЧ-1 выходное напряжение представляет собой смесь полезного сигнала я.м.р. с частично полавленной огибающей амплитудно-частотной характеристики приемного контура. Для сравнения с дводным методом детектирования после усилителя УВЧ-1 часть сигнала ответвляется в схему диодного детектора ДД, YH4-2 выводится для наблюдения. н усиливается В

Фазовый детектор собран по схеме аналогового перемножителя на основе микросхемы К175УВ4. Низкочастотная (НЧ) фильтрация осуществляется с помощью монтажных выходных и иходных емкостей детектора и НЧ усилителя [6].

На рис. 2 приведена структурная ехема фазочувствительного детектора, поясняющая с помощью временных диаграмм принцип его работы. Сигнал U представляет собой усиленные в УВЧ-1 высокочастотные колебания в контуре, промодулированные сигналом ямр. Сигнал U, получен из опорной частоты ВЧ генератора после деления на два с помощью схемы вифрового триттера (рис. 2а). С помощью последовательно включенного фильтра нижних частот формируется

выходное напряжение аналогового перемножителя, которое зависит от

спвига фаз между сигналами Ц, и Ц,

Как видно из временных диаграмм, эффективность детектирования зависит от площади перекрытия сигналов U и U. Для варианта рис. 2с легче осуществить максимальную эффективность совнадения сигналов, чем для рис. 26, где частоты сигналов U_1 и U равны фазовый детектор не регистрирует отдельно напряжения сигналов U_1 и U_3 , что крайне важно для повышения чувствительности и помехоустойчивости прибора. Сигнал и разделенной на лва частотой не является резовансным для ям.р. контура и эффективно им подавляется. Использование фазового детектирования с сигналом половинной частоты в опорном канале позволяло повысить эффективность регистрации по сравнейню со стандартным фазочувствительным методом, что особенно проявилось при измерениях теплового равновесного сигнала ям.р.

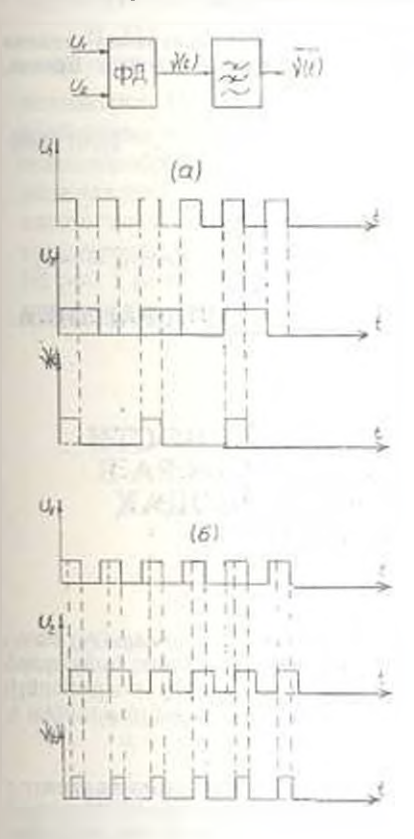


Рис. 2. Временные диаграммофалочунствительного детектора.

а гластота сигнала U вдвое меньше опорион,

6 - частоты сигналов 11, и 1 , равиы.

Для сравнения двух методов регистрации сигналов ФД и ДД были проведены контрольные измерения с дифенилинкрилгидрозилом (ДФПГ) в переменном магнитном поле 40 э, создаваемом катушками Гелмьгольца. Как ноквзали измерения э.п.р. спектров ДФМГ. Q-метр на основе фазочувствительного детектора, работающий в режиме перемножения двух сигналов, позволил в два раза улучшить отношение сигнал/шум. По нашим оценкам, ногрешность регистрации сигналов э.м.р. поглощения составляет не более ± 1%, что соответствует лучшим из достигнутых в настоящее время

результатов. Длительная эксплуатация прибора показала высокую стабильность измерений и сохранение чувствительности при многосуточных измерениях.

ЛИТЕРАТУРА

- Petricek V. Q-meter for polarized target // Nucl. instrum. and Meth. 1968. -58, 111.
- 2. Matsuda T., Norlkawa N., Nakanishi Ts. et al. Phase-sensitive Detector for the determination of the polarization Preprint DPNU-89-61. Nagoya Univ., 1989.

3. Кисслев Ю.Ф., Сирунян А.М., Степанян С.С. О-метр с цифровым регистратором // ПТЭ. - 1991. - №1. - С. 99.

4. Кисслев Ю.Ф., Матафонов В.Н. Измерение поляризации протонной поляризованной мишени. - Препринт Р13-10101, ОИЯИ, 1976.

 Сирунян А.М., Степанян С.С. Аппаратура для измерения степени поляризации протонов в поляризованной мишени //Изв. АН АрмССР, Физика. - 1989. - 24. вып. 4 с. 102

6. Баятян Г.Л., Парфенов Л.Б., Степанян С.С. Система измерения степени поляризации для поляризованной мишени. Препринт НФИ-740(55)- 84. - Ереван, 1984.

ЕофИ

10, 01, 1995

Изв. НАН и ГИУ Армении (сер. ГП), т. XLIX, № 1, 1996. с. 44-47.

УДК 532,542

ГИДРАВЛИКА

ШККИША.П.Є

СПОСОБ ПОВЫШЕНИЯ ЭФФЕКТИВНОСТИ ГАШЕНИЯ ГИДРАВЛИЧЕСКОГО УДАРА В НАГНЕТАТЕЛЬНЫХ ТРУБОПРОВОДАХ НАСОСНЫХ СТАНЦИЙ

Առաջարկվում է ճնշման խողովակաչարի վռա հակադարծ փականից <mark>հետո</mark> տեղադրել օդային խուց, իսկ նրանից հետո ափսեի վրա անցք ունեցող հակ<mark>ադարծ</mark> փական, որը փոքրացնում է օդային խուցի ծավալը ճնշումը թույլա<mark>տրելի</mark> սահմաններում պահելու պայմանով։ Բերված են հաշվարկային առնչություն<mark>ներ և</mark> փորձնական հետազոտության արդյունքները։

Рекомендуется в начале напорного грубопровода насосной станции наряду с установкой воздушного колнака использовать также дополнительный обратный клапан с отверстиями в гарели, что позволяет значительно уменьщить объем воздуха в колнаке. Приведены расчетные формулы и результаты экспериментального исследования

Ил. 2. Библиогр. 4 казв.

An auxiliary inverted valve with onfices in plates is recommended to use at the beginning of the pressure pipeline of a pumping station alongside with an air valve installation, and this permits to decrease, to a great extent, the air volume in a valve. The estimated formulas and results of experimental studies are given.

177.2. Ref. 4.